

## Двумерные световые пули в массиве углеродных нанотрубок

М. Б. Белоненко<sup>1)</sup>, Н. Г. Лебедев\*, А. С. Попов\*

Лаборатория нанотехнологий Волгоградского института бизнеса, 400048 Волгоград, Россия

\*Волгоградский государственный университет, 400062 Волгоград, Россия

Поступила в редакцию 18 февраля 2010 г.

После переработки 22 марта 2010 г.

Рассмотрена задача о распространении двумерных уединенных электромагнитных волн в массиве углеродных нанотрубок. Электромагнитное поле рассматривалось на основе уравнений Максвелла, а электронная система углеродных нанотрубок – на основе кинетического уравнения Больцмана в приближении времени релаксации. Численно проанализировано полученное эффективное уравнение и выявлено состояние электромагнитного поля, которое локализовано в двух пространственных измерениях.

**1. Введение.** Исследователей в области нелинейной физики все больше привлекают углеродные нанотрубки (УНТ) [1] с момента их экспериментального открытия. Они наиболее близки по своей структуре к идеальным одномерным (1D) системам, это делает их привлекательными для использования в нано- и микроэлектронике. Изучение свойств УНТ привело к необходимости исследовать разного рода нелинейно-оптические явления в нанотрубках [2–4].

Выполненные исследователями из Института общей физики РАН измерения зависимости коэффициента пропускания суспензии, содержащей УНТ, от интенсивности падающего лазерного излучения указывают на значительный эффект просветления, приводящий к увеличению коэффициента пропускания от 79% при слабой интенсивности до 81% при интенсивности 40 МВт/см<sup>2</sup> [5]. Создан и исследован эрбиевый волоконный лазер, работающий в режиме самосинхронизации мод, осуществляемом с помощью насыщающегося поглотителя на основе синтезированных методом дугового разряда одностенных углеродных нанотрубок [6, 7]. В работе [8] рассмотрено оптическое поглощение нанотрубкой, обладающей спиральной симметрией, линейно поляризованного излучения. Изучение распространения оптических солитонов (ультра- и предельно коротких импульсов света) в массиве УНТ проведено в работах [9–14], где теоретически предсказана возможность существования электромагнитных солитонов и зависимость их характеристик от параметров УНТ.

Однако остался ряд вопросов, требующих дальнейшего развития. Это вопросы, связанные с выходом за рамки 1D приближения и изучение динамики распространения оптического импульса с учетом поперечной дисперсии. Другой интересный вопрос –

это задача о динамике 2D оптического импульса, локализованного по обеим координатам. Исследование таких импульсов, получивших название “световые пули” [15, 16], в последнее время стало весьма популярным, что связано и с большим количеством возможных практических применений.

**2. Модель и основные уравнения.** Рассматриваем ультракороткий оптический импульс, распространяющийся в 2D массиве углеродных нанотрубок. Вектор напряженности электрического поля  $\mathbf{E}(\mathbf{x}, \mathbf{y}, t)$  направлен вдоль оси трубки  $z$ , а электромагнитная волна движется в поперечном направлении вдоль оси  $x$  (рис.1). Углеродные нанотруб-

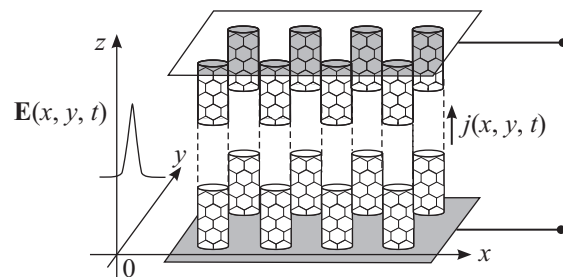


Рис.1. Геометрия задачи. Ультракороткий оптический импульс с напряженностью электрического поля  $\mathbf{E}(\mathbf{x}, \mathbf{y}, t)$  направлен вдоль оси трубки  $z$ , движется в поперечном направлении вдоль оси  $x$

ки считаются идеальными, имеющими зигзагообразную структурную модификацию и расположенными на примерно одинаковых расстояниях друг от друга, равных 0.34 нм [1]. Взаимодействие между УНТ не учитывается, поэтому способ упаковки в массив не важен. Для простоты и определенности использовалась тетрагональная упаковка однослойных УНТ в 2D массив с пространственной группой  $P4_2/mmc (D_{4h}^9)$  [1]. Идеальные углеродные нанотруб-

<sup>1)</sup> e-mail: mbelonenko@yandex.ru

ки типа “zig-zag” характеризуются хиральными индексами  $(n, 0)$ , где  $n$  определяет число шестичленных колец (гексагонов) вдоль периметра, то есть фактически диаметр трубки. Их электронное строение описывается хорошо известным дисперсионным соотношением, полученным в рамках  $\pi$ -электронного приближения Хюккеля [1]:

$$E(\mathbf{p}) = \pm \gamma \sqrt{1 \pm 4 \cos(ap_z) \cos\left(\frac{\pi s}{n}\right) + \cos^2\left(\frac{\pi s}{n}\right)}, \quad (1)$$

где  $\gamma \approx 2.7 \text{ эВ}$  – интеграл перескока электрона на узлах кристаллической решетки,  $a = 3b/2\hbar$ ,  $b = 0.142 \text{ нм}$  – расстояние между соседними атомами углерода, квазиимпульс  $\mathbf{p}$  имеет компоненты  $(p_z, s)$ , где  $p_z$  – компонента импульса электрона вдоль оси нанотрубки,  $s = 1, 2, \dots, n$  – число, которое характеризует квантование импульса вдоль периметра нанотрубки. Разные знаки относятся к зоне проводимости и валентной зоне. Вывод эффективных уравнений неоднократно изложен в работах [9–13] для 1D случая. В 2D случае эволюция электромагнитного поля импульса описывается классически на основании уравнений Максвелла [17]. С учетом двумерности задачи уравнения Максвелла для векторного потенциала  $\mathbf{A} = (0, 0, A_z(x, y, t))$  в калибровке  $\mathbf{E} = -\frac{1}{c} \frac{\partial \mathbf{A}}{\partial t}$  будут иметь известный вид:

$$\frac{\partial^2 \mathbf{A}}{\partial x^2} + \frac{\partial^2 \mathbf{A}}{\partial y^2} - \frac{1}{c^2} \frac{\partial^2 \mathbf{A}}{\partial t^2} = -\frac{4\pi}{c} \mathbf{j}. \quad (2)$$

В этом уравнении пренебрегается дифракционным расплыванием лазерного пучка в направлении оси  $z$ . Для расчета плотности тока, входящей в уравнение (2), можно воспользоваться полуклассическим приближением. В этом приближении эволюция ансамбля ферми-частиц описывается классическим кинетическим уравнением Больцмана в приближении времен релаксаций [18]:

$$\frac{\partial f}{\partial t} - \frac{q}{c} \frac{\partial A_z}{\partial t} \frac{\partial f}{\partial p_z} = \frac{F_0 - f}{\tau}. \quad (3)$$

Здесь функция распределения  $f = f(p_z, s, t)$  неявно зависит от пространственных координат  $x$  и  $y$  в силу зависимости от них компоненты вектор-потенциала,  $F_0$  – равновесная функция распределения Ферми:

$$F_0 = \frac{1}{1 + \exp(E(\mathbf{p})/k_B T)}, \quad (4)$$

где  $T$  – абсолютная температура,  $k_B$  – постоянная Больцмана. Время релаксации  $\tau$ , согласно [19], можно оценить как  $\sim 3 \cdot 10^{-13} \text{ с}$ . Здесь считается, что

электронный газ рассматривается невырожденным, что связано с наличием щели в спектре (1) для диэлектрических нанотрубок. В данной работе в рамках используемой полуклассической модели не учтены межзонные переходы.

Это, как показано в [3], дает ограничение на максимальную частоту лазерных импульсов. Так, для типичных нанотрубок данная частота лежит в ближней инфракрасной области. Поскольку в данной работе рассматриваются импульсы, локализованные в пространственной области, имеющей величину порядка длины волны, необходимо учесть, что их спектр будет иметь ширину порядка обратной длительности, что приводит к соответствующему ограничению на длительность импульса, который не может быть короче, чем период волны, лежащей в инфракрасной области спектра. Второе обстоятельство, которое необходимо отметить, состоит в том, что в уравнении (3) не учитываются переходы между состояниями с различными квантовыми числами  $s$ . Состояния, характеризуемые различными квантовыми числами  $s$ , ортогональны и отличаются распределением волновой функции электрона вдоль окружности нанотрубки. Поскольку электромагнитное поле на таких расстояниях можно считать однородным и в силу ортогональности состояний с разными  $s$ , матричные элементы переходов между ними сводятся к нулю, и данные переходы можно не учитывать в кинетическом уравнении.

Выражение для плотности тока  $\mathbf{j} = (0, 0, j_z)$  можно записать, воспользовавшись полуклассическим приближением, в виде

$$j_z = \frac{q}{\pi \hbar} \sum_s \int dp_z v_z f, \quad (5)$$

где  $v_z = \partial E(\mathbf{p})/\partial p_z$  – скорость электрона в зоне Бриллюэна,  $q$  – заряд электрона.

Уравнение (3) записано в пренебрежении эффектами, связанными с неоднородностью электромагнитного поля вдоль оси нанотрубки. С одной стороны, это оправдано введенным выше предположением об отсутствии дисперсионного расплывания в направлении оси  $z$ , а с другой, нанометровые размеры частиц вещества предполагают выполнение данного приближения с необходимой точностью. Кинетическое уравнение (3) решалось методом характеристик, после чего был сделан переход к бесстолкновительному пределу. Подробно данные выкладки описаны в [9–13]. Основная идея состоит в записи выражения для тока через вектор-потенциал, что после перехода к бесстолкновительному пределу позволяет получить используемое далее выражение. Отметим, что аль-

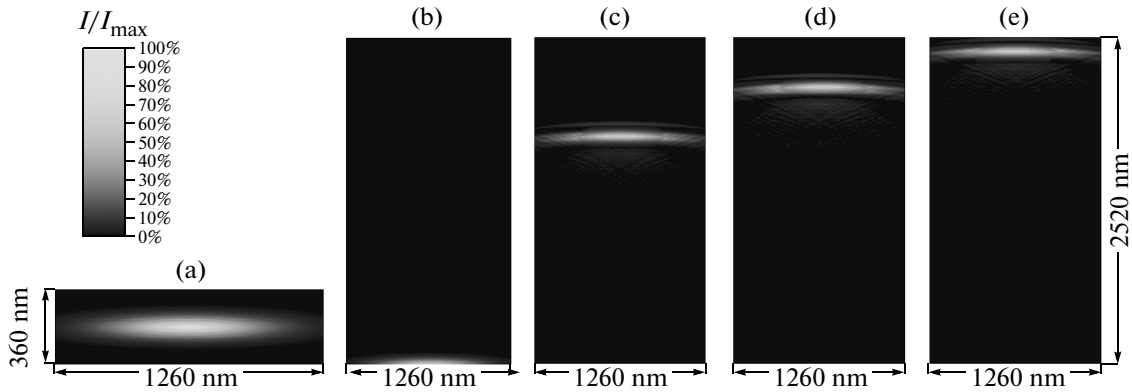


Рис.2. Картина прохождения электромагнитного солитона через двумерный массив нанотрубок типа (8,0). Изображена зависимость интенсивности волны  $I(x, y, t) = E^2(x, y, t)$  в различные моменты времени: (а) исходная форма импульса, (b) исходный вид  $t = 0$ , (c)  $t = 2.2 \cdot 10^{-12}$  с, (d)  $t = 2.6 \cdot 10^{-12}$  с и (e)  $t = 2.9 \cdot 10^{-12}$  с. Поперечная ширина импульса составляет 1260 нм. Интенсивность выражена в тонах серого цвета

тернативный подход, основанный на квантовомеханическом вычислении тока, без использования кинетического уравнения Больцмана был предложен в [14] и приводит к аналогичному выражению для тока.

В результате всех преобразований получается эффективное уравнение для вектор-потенциала следующего вида:

$$\frac{\partial^2 A_z}{\partial x^2} + \frac{\partial^2 A_z}{\partial y^2} - \frac{1}{c^2} \frac{\partial^2 A_z}{\partial t^2} + \frac{q}{\pi \hbar} \sum_m c_m \sin\left(\frac{maq}{c} A_z(t)\right) = 0, \quad (6)$$

$$c_m = \sum_s a_{ms} b_{ms}, \quad b_{ms} = \int_{-q_0}^{q_0} \cos(map_z) F_0(\mathbf{p}) dp_z$$

$$a_{ms} = \frac{1}{\pi} \int_{-\pi}^{\pi} v_z(s, p) \sin(mp) dp.$$

Результаты численных расчетов показали, что коэффициенты разложения  $b_{ms}$  сильно убывают с ростом индекса  $m$  при любых температурах. Как показали классические исследования в одномерном случае, характер распада одиночного импульса сильно зависит от его скорости [20]. При увеличении относительной скорости в 1D случае импульсы начинают взаимодействовать более упруго, и часть их энергии уходит в колебательные моды.

**3. Численное моделирование динамики импульса.** Полученное эффективное уравнение (6) решалось численно при помощи прямой разностной схемы типа “крест” [21]. Шаги по времени и координате определялись из стандартных условий устойчивости. Шаги разностной схемы уменьшались последовательно в 2 раза до тех пор, пока решение не изменялось

в восьмом знаке после запятой. Данные расчетов для 1D случая динамики импульса в массиве углеродных нанотрубок подробно представлены в работах [9–13]. Начальный профиль импульса имел гауссов вид. Предельнокороткий импульс разделялся на два, которые имели существенно разную амплитуду.

Результаты теоретических исследований динамики импульса в 2D массиве УНТ без примесей для осесимметричных начальных условий представлены в работе [22]. Показано, что в 2D случае возможны устойчивые нелинейные волны, которые имеют динамику, аналогичную динамике пульсонов 2D нелинейного уравнения sine-Gordon, а приложение постоянного электрического поля к конечной области 2D массива УНТ стабилизирует распространение нелинейной волны – пульсона.

В данной работе сосредоточено внимание на результатах, соответствующих импульсу, локализованному в двух пространственных направлениях. Изучение динамики импульса проводилось, для определенности, в 2D массиве диэлектрических УНТ (8, 0) без примесей. На рис.2 представлена картина распространения электромагнитной волны в массиве нанотрубок без неоднородностей. Изображена зависимость интенсивности волны  $I(x, y, t) = E^2(x, y, t)$  в различные моменты времени.

Приведенная зависимость является типичной, и из нее следует, что в массиве углеродных нанотрубок возможно устойчивое распространение импульсов, локализованных в двух измерениях, которые часто называются в литературе “световыми пулями” [15, 16]. Расчеты показали, что, хотя и происходит дифракционное расплывание импульса в направлении, поперечном направлению распространения, в

целом импульс сохраняет свою форму. Также необходимо отметить, что происходит частичное искривление фронта импульса, которое возникает вследствие дифракции.

Отметим, что существование “световых пулей” можно предположить и из более простых соображений. Учитывая свойство Лоренц-инвариантности уравнения (6), переходя в систему отсчета, движущуюся со скоростью импульса, и предполагая, что импульс в движущейся системе отсчета имеет вид  $A = A(r) = A(x_1^2 + y_1^2)$ , где координаты  $(x_1, y_1)$  связаны с исходными  $(x, y)$  преобразованиями Лоренца, получаем обыкновенное дифференциальное уравнение на вектор-потенциал:

$$\frac{d}{dr} \left( r \frac{dA}{dr} \right) + \frac{q}{\pi \hbar} \sum_m c_m \sin \left( \frac{maqA}{c} \right) = 0. \quad (7)$$

Среди решений уравнения (7) есть решения, конечные в начале координат и выходящие на плато при  $r \rightarrow \infty$ , что соответствует в силу условия калибровки нулевому значению электрического поля  $E$ . Типичный вид такого решения представлен на рис.3.

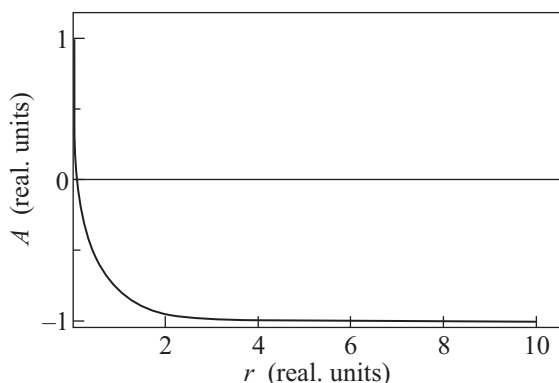


Рис.3. Типичное решение уравнения (7), соответствующее “световой пуле”

На рис.4 показано распределение интенсивностей  $I(x, y, t)$  импульса в различные моменты времени по сечению, параллельному плоскости  $ZY$  и проходящему через центр импульса. Таким образом, из рисунка видно, что размывание импульса происходит относительно слабо, большая часть энергии, несмотря на затухание, по-прежнему сосредоточено в центре импульса.

На рис.5 показано распределение интенсивностей  $I(x, y, t)$  импульса в различные моменты времени по сечению, параллельному плоскости  $ZX$  и проходящему через центр импульса. Наглядно видно, что при распространении световой “пули” в моделируемой системе УНТ за ее фронтом возникает допол-

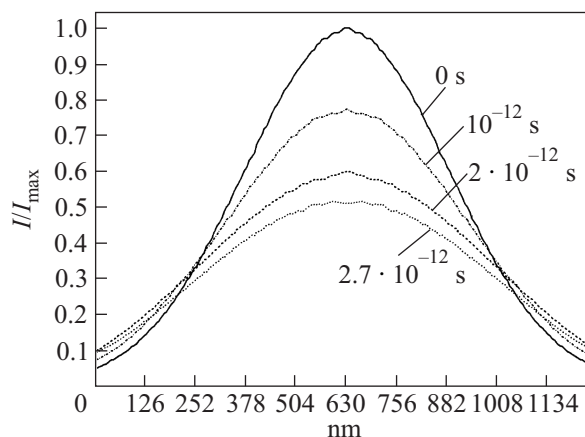


Рис.4. Распределение интенсивностей  $I(x, y, t)$  импульса в различные моменты времени по сечению, параллельному плоскости  $ZY$  и проходящему через центр импульса. По оси ординат отложено отношение  $I/I_{max}$

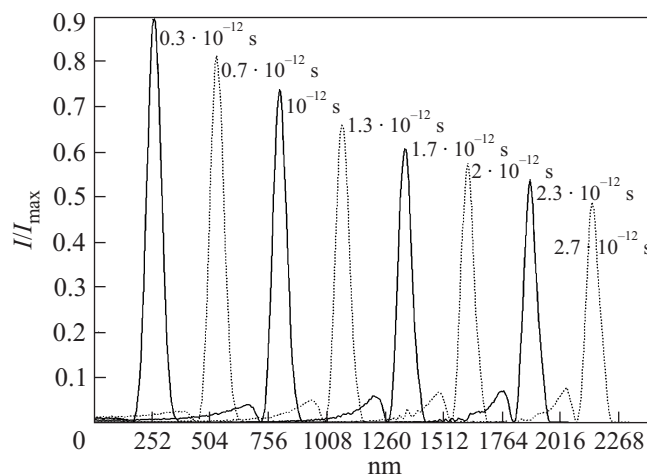


Рис.5. Распределение интенсивностей  $I(x, y, t)$  импульса в различные моменты времени по сечению, параллельному плоскости  $ZX$  и проходящему через центр импульса. По оси ординат отложено отношение  $I/I_{max}$

нительный пик, в который, по-видимому, идет перекачка части энергии из самой пули. Отметим, что данный результат согласуется с результатами исследования в одномерном случае [9–13], где также наблюдался дополнительный пик.

**4. Заключение.** На основании проведенного исследования можно сделать следующие выводы.

1. Предложена модель и получено эффективное уравнение, описывающее динамику предельно короткого 2D лазерного импульса в пучках УНТ. Указаны приближения, используемые при построении модели.
2. Численные расчеты показали, что в 2D случае возможны устойчивые нелинейные волны,

локализованные в двух направлениях световые импульсы, которые являются аналогами “световых пуль”.

3. При распространении “пули” в 2D массиве УНТ ее размытие в поперечнике происходит относительно слабо, энергия по-прежнему сосредоточена в центральной области импульса.
4. При распространении пули вслед за ее фронтом возникает дополнительный “всплеск”, перекачивающий в себя часть энергии пули.

Работа проведена в рамках реализации ФЦП “Научные и научно-педагогические кадры инновационной России” на 2009–2013 годы (проект № НК-16(3)), а также поддержана Российским фондом фундаментальных исследований (грант # 08-02-00663).

1. П. Харрис, *Углеродные нанотрубы и родственные структуры. Новые материалы XXI века*, М.: Техносфера, 2003.
2. S. A. Maksimenko and G. Ya. Slepyan, in: *The Handbook of nanotechnology. Nanometer structure: theory, modeling, and simulation*, Ed. A. Lakhtakia. - Bellingham: SPIE Press, 2004, p. 145–206.
3. G. Ya. Slepyan, S. A. Maksimenko, and V. P. Kalosha, *Phys. Rev.* **60**, 777 (1999).
4. А. М. Желтиков, *Сверхкороткие импульсы и методы нелинейной оптики*, М.: Физматлит, 2006.
5. Н. Н. Ильичев, Е. Д. Образцова, С. В. Гарнов, *Квантовая электроника* **34**, 572 (2004).
6. А. В. Таусенев, Е. Д. Образцова, А. С. Лобач, *Квантовая электроника* **37**, 847 (2007).
7. А. В. Таусенев, Е. Д. Образцова, А. С. Лобач, *Квантовая электроника* **37**, 205 (2007).
8. А. А. Григорькин, С. М. Дунаевский, *Физика твердого тела* **51**, 403 (2009).
9. М. В. Belonenko, E. V. Demushkina, and N. G. Lebedev, *J. Russian Laser Res.* **27**, 457 (2006).
10. М. Б. Белоненко, Е. В. Демущкина, Н. Г. Лебедев, *ФТТ* **50**, 368 (2008).
11. М. Б. Белоненко, Е. В. Демущкина, Н. Г. Лебедев, *Изв. РАН, сер. физ.* **72**, 711 (2008).
12. М. Б. Белоненко, Е. В. Демущкина, Н. Г. Лебедев, *ЖТФ* **78**, 1 (2008).
13. М. Б. Белоненко, Е. В. Демущкина, Н. Г. Лебедев, *Хим. физика* **27**, 86 (2008).
14. М. Б. Белоненко, Н. Г. Лебедев, *Хим. физика* **29**, 71 (2010).
15. В. Н. Власов, И. А. Петрищев, В. И. Таланов, *Известия ВУЗов. Радиофизика* **14**, 1353 (1971).
16. Y. Silberberg, *Opt. Lett.* **15**, 1282 (1990).
17. Л. Д. Ландау, Е. М. Лифшиц, *Электродинамика сплошных сред*, М.: Физ.-мат. лит., 2005.
18. Л. Д. Ландау, Л. П. Питаевский, *Физическая кинетика*, М.: Физматлит, 1979.
19. R. Saito, M. Fujita, and G. Dresselhaus, *Phys. Rev. B.* **46**, 1804 (1992).
20. P. W. Kitchenside, P. J. Caudrey, and R. K. Bullough, *Phys. Scripta.* **20**, 673 (1979).
21. Н. С. Бахвалов, *Численные методы (анализ, алгебра, обыкновенные дифференциальные уравнения)*, М.: Наука, 1975.
22. М. Б. Белоненко, С. Ю. Глазов, Н. Г. Лебедев, *ФТТ* **51**, 1657 (2009).